

R-матрицы и инвариант

§ 1

Представление Буре (Werner Burau)

Какие представления группах кос, помимо тривиального одномерного

$$g_i \mapsto x, \quad x \in \mathbb{C}^{\times}$$

мы знаем?

Представление B_n (точнее, S_n) перестановками набора n элементов:

Элементами набора у нас будут базисные векторы n -мерного пространства V : $v_i, i=1, 2, \dots, n$.

Действие перестановки $\pi \in S_n$:

$$\pi = \begin{pmatrix} 1 & 2 & \cdots & n \\ \pi(1) & \pi(2) & \cdots & \pi(n) \end{pmatrix} \quad v_i \xrightarrow{\pi} v_{\pi(i)}$$

Матрицы элементарных перестановок σ_j в базисе $\{v_i\}$ имеют вид

$$\sigma_j = (j, j+1) \mapsto \begin{pmatrix} 1 & & \cdots & & j & & & & \\ & \ddots & & & & \vdots & & & \\ & & -1 & & & & & & \\ & & & 0 & & 1 & & & \\ & & & & 1 & & 0 & & \\ & & & & & 0 & & & \\ & & & & & & \ddots & & \\ & & & & & & & \ddots & \\ & & & & & & & & 1 \end{pmatrix}$$

j, j+1 - е столбцы

j, j+1 - е строки

Это представление приводимо.

(2)

Одномерное тригонометрическое ^{ног} представление (отбирает
диаграмме ) действует на векторе

$$\omega = \sum_{i=1}^n v_i : \quad \sigma_j \omega = \omega.$$

$(n-1)$ -мерное неприводимое ног-представление, отве-
щающее диаграмме  , действует на подпростран-
стве с базисом $\tilde{v}_i = v_i - v_n, i=1,2,\dots,n-1$.

Вернер Бургау (1936) дал дополнительный
параметр к это представление B_n (также S_n):

$$b_i \mapsto \begin{pmatrix} I_{i-1} & & & \\ & 1-t, t & & \\ & 1, 0 & & \\ & -0 & & \\ & & I_{n-i} & \\ & & i & i+1 & i+1 \end{pmatrix} \quad (1a)$$

Здесь I_k - единичная матрица размера $k \times k$.

У матриц, представляющих b_i , 2 различных собствен-
ных значений: $1-u-t$, поэтому изменение мас-
штаба можно свести представление Бургау к пред-
ставлению алгебры Ивахори-Гекке $th(a)$:

$$\text{Burau}_n: \quad g_i \mapsto \begin{pmatrix} q \cdot I_{i-1} & & & \\ & \lambda & x & \\ & \bar{x} & 0 & \\ & 0 & & q \cdot I_{n-i-1} \end{pmatrix}, \quad \lambda := q - \frac{1}{q}, \quad (1b)$$

$q, x \in \mathbb{Q}^\times$

Здесь второй параметр x устраивается преобразованием

(3)

подобия. Он вводится для удобства дальнейших построений.

Упражнение 1 а) Убедитесь, что (1б) задает представление алгебра $H_n(a)$ /достаточно рассмотреть случай $n=3$ /

б) Определите неприводимые компоненты представлений Бурау. Убедитесь:

$$Burau_n = \underbrace{\begin{array}{|c|c|c|} \hline & \cdots & \\ \hline \end{array}}_{n \text{ клеток}} \oplus \begin{array}{|c|c|c|} \hline & \cdots & \\ \hline \end{array}$$

§2

R-матричные представления V_n

Пока мы построили представления V_n в пространствах малых размерностей ($\dim V = n$), поэтому и даны ненулевые базисные элементы в них. Чтобы понять больше разрывных представлений надо увеличить размерность пространств представлений. Давайте представить не отдельные элементы линейств, а линейное пространство. Рассмотрим

$$W = V^{\otimes n} = V \otimes V \otimes \dots \otimes V = V_1 \otimes V_2 \otimes \dots \otimes V_n$$

$\underbrace{\quad}_{n \text{ раз}}$

Введем индексацию пространств в тензор-ном произведении.

$$V_i \cong V \quad \forall i$$

В этих пространствах действуют операторы перестановки:

(4)

$$P \in \text{Aut}(V \otimes V) : P(u \otimes v) = v \otimes u \quad \forall u, v \in V$$

По этому оператору строим его "комп" P_i , действующие в компонентах $V_i \otimes V_{i+1}$ пространства W :

$$P_i \in \text{Aut}(W) : P_i := \underbrace{\text{Id}_{V^{(i)}} \otimes P \otimes \text{Id}_{V^{(n-i)}}}_{\text{действует в } V_i \otimes V_{i+1}}$$

Иногда P_i обозначают $P_{i:i+1}$, чтобы явно указать, векторе каких пространств представляемого

Отображение

$$\sigma_i \mapsto P_i$$

является представлением симметрической группы

$$S_n \rightarrow \text{Aut}(W)$$

Упражнение 2. Проверьте, что это действует так

Пример: Рассмотрим 2-мерное пространство V с

базисом $\{v_1, v_2\}$. В $V \otimes V$ индуцируется базис:

$$\{v_1 \otimes v_1, v_1 \otimes v_2, v_2 \otimes v_1, v_2 \otimes v_2\}$$

Элемент которого мы будем обозначать шумкой-индексами: $\{v_{11}, v_{12}, v_{21}, v_{22}\}$

В этом базисе P имеет матрицу:

(5)

$$P = P_1 (= P_{12}) = \begin{bmatrix} 11 & 12 & 21 & 22 \\ 11 & 1 & 1 & 1 \\ 12 & 1 & 1 & 1 \\ 21 & 1 & 1 & 1 \\ 22 & 1 & 1 & 1 \end{bmatrix}$$

Она имеет блочный вид. Компоненты разложением ее на кеприодическое представление S_2 указана.

Попробуем ввести параметр в P по примеру Бургу: заменим 2×2 блок в P на 2×2 блок из (1B) и изменим масштаб 1×1 блоков с тем, чтобы у получить - шейся матрицы было 2 разных собственных значений: q и $-q^{-1}$.

$$R = \begin{bmatrix} 11 & 12 & 21 & 22 \\ 11 & q & & \\ 12 & & q - \frac{1}{q} & \alpha \\ 21 & & \alpha^{-1} & \\ 22 & & & \Gamma q \end{bmatrix} \quad (2)$$

Получившийся оператор $R \in \text{Aut}(V \otimes V)$, $\dim V=2$ имеет спектр $\text{Spec } R = \{ q^{\#3}, -\frac{1}{q} \}$. Он также удовлетворяет соотношению

| | |
|--|-----|
| $R_1 R_2 R_1 = R_2 R_1 R_2$, где | (3) |
| $R_1, R_2 \in \text{Aut}(V^{\otimes 3})$, $R_1 = R \otimes \text{Id}_V$ | |
| $R_2 = \text{Id}_V \otimes R$ | |

Упражнение 3 Убедись в справедливости соотношений (3) для оператора (2)

(6)

Поэтому с использованием R (2) можно построить серию представлений

$$\boxed{\begin{aligned} B_n &\xrightarrow{S_R} \text{Aut}(V^{\otimes n}) \\ b_i &\xrightarrow{S_R} R_i := \text{Id}_{V^{\otimes(i-1)}} \otimes R \otimes \text{Id}_{V^{\otimes(n-i-1)}} \end{aligned}} \quad (4)$$

Def: Матрица $R \in \text{Aut}(V^{\otimes 2})$, удовлетворяющая соотношению (3), называется R-матрицей.

Соотношение (3) при этом принято называть уравнением Иига-Бакстера, или соотношением кос. По всякой R-матрице можно построить представление группы кос B_n (4) называемое R-матричным.

Если дополнительно R-матрица имеет минимальный идемпотент вида

$$\boxed{(R - q \text{Id}_{V^{\otimes 2}})(R + q^{-1} \text{Id}_{V^{\otimes 2}}) = 0} \quad (5)$$

то R-матрица называется геккевской, а породившее её R-матричное представление, являющееся представлением алгебр Гекке $H(q)$. R-матрица (2) является геккевской.

Rem: Отличительные особенности R-матричных
представлений V_n :

a) локальность: $g_R(b_i)$ действует непривычно
только в компонентах $V_i \otimes V_{i+1}$ пространства $V^{\otimes n}$

b) однородность: все $g_R(b_i)$ строятся с помощью
одной и той же R .

Существуют обобщения R-матричных представлений,
где эти условия
с помощью "дynamических" R-матриц.

Rem: В определении R-матрицы подчеркивается,
что R — это матрица, а не оператор. Дело в том,
что преобразование подобие $R \mapsto U R U^{-1}$, вообще
говоря, не совместно с уравнением Янга-Бакстера (3).
Потому что $R \in \text{Aut}(V^{\otimes 2})$ быть R-матрицей
зависит от выбора базиса в $V^{\otimes 2}$. Уравнение Янга-
Бакстера сохраняется при ограничении классе
преобразований подобий:

$$R_{12} \mapsto X_1 X_2 R_{12} (X_1 X_2)^{-1} \quad (6)$$

называемых калиброванными преобразованиями.
Здесь $X \in \text{Aut}(V)$ — симметрия с единичной базисом V ,
 $X_1 := X \otimes \text{Id}_V$, $X_2 = \text{Id}_V \otimes X$, так что $X_1 X_2 = X \otimes X$ —
согласованная единица базиса в обеих компонентах
 V пространства $V^{\otimes 2}$.

В заключение на параграфа представим обобщение ⑧
 R-матрица (2) на случай пространства V большей
 размерности:

$$R = \sum_{i=1}^N q e_{ii} \otimes e_{ii} + \sum_{i \neq j=1}^N \alpha_{ij} e_{ij} \otimes e_{ji} + \lambda \sum_{1 \leq i < j \leq N} e_{ii} \otimes e_{jj} \quad (7)$$

где $\lambda := q - \frac{1}{q}$, $\alpha_{ij}\alpha_{ji} = 1 + t_{ij}$.

Такие R-матрицы называют (категорическими)
R-матрицами Дринфельда-Джеято (Drinfeld-Jimbo).
 Они связаны с квантовыми группами серии $GL_q(N)$.

Здесь $e_{ij} \in \text{End}(V)$ — это узелокившиеся матрицы
единицы — матрица размера $N \times N$ ($\dim V = N$),
 у которых на пересечении i -й строки и j -го
 столбца стоит единица, а все остальное — нули.

При этом $e_{ij} \otimes e_{kl}$ — матрица размера $N^2 \times N^2$,
 у которой единица единица стоит на пересе-
 чении строки с индексом ik и столбца с индексом jl

Поскольку матрица R (7) состоит из 1×1
 $_{ii}^{ij} \otimes _{ji}^{ij}$ блоков

блока $_{ii}^1 \otimes _{ji}^{ij}$ и 2×2 блоков $_{ji}^{ij} \left(\begin{array}{cc} \lambda & \alpha_{ij} \\ \alpha_{ij} & 0 \end{array} \right)$, $i < j$,
 то она, очевидно, генкевская.

Две проверки соотношений Янга-Бакстера
 дали её гарантии, что матрицы R_1 и R_2 в

(9)

в пространстве $V^{\otimes 3}$ действуют неизменяющими подпространствах размерностей 1, 3 и 6.

У них 1×1 блоки на пересечении строк и столбцов с индексом "iii";

3×3 блоки на пересечении строк и столбцов с индексами $\{iij, iji, jii\}$, $i \neq j$;

6×6 блоки на пересечении строк и столбцов с индексами $\{ijk, jik, jki, kji, ikj, kij\}$ $i < j < k$.

Поэтому уравнение Ама-Бакстера для R-матриц для

(7) можно проверять отдельно в 1×1 , 3×3 и 6×6 блоках, причем в каждом из этих блоков оно будет универсально, вне зависимости от выбора индексов i, j, k .

Представим R_1 и R_2 в 6×6 блоке след

$i=1, j=2, k=3$:

$$R_1 = \begin{array}{c|cccccc} & \begin{matrix} 123 & 213 & 231 & 321 & 132 & 312 \end{matrix} \\ \hline \begin{matrix} 123 \\ 213 \\ 231 \\ 321 \\ 132 \\ 312 \end{matrix} & \left[\begin{array}{cc|cc|cc} \lambda & x_{12} & & & & \\ \frac{1}{\lambda}x_{12} & 0 & & & & \\ \hline & & \lambda & x_{23} & & \\ & & \frac{1}{\lambda}x_{23} & 0 & & \\ & & & & \lambda & x_{13} \\ & & & & \frac{1}{\lambda}x_{13} & 0 \end{array} \right] \end{array}$$

$$R_2 = \begin{bmatrix} 123 & 213 & 231 & 321 & 132 & 312 \\ 123 & \lambda & & & & \\ 213 & & x_{13} & & & \\ 231 & & & x_{23} & & \\ 321 & & & & x_{12} & \\ 132 & & & & & x_{12} \\ 312 & & & & & \end{bmatrix}$$

$\frac{1}{\lambda}x_{13} = 0$

$\frac{1}{\lambda}x_{23} = 0$

$x_{12} = 0$

Упражнение 4: Проверьте, что выше приведенное
матрицы R_1 и R_2 удовлетворяют уравнению Фина-Банхера.
Проверьте то же самое для 3×3 блоков $\{iij, iji, jii\}$.

Упражнение 5* Убедитесь, что матрица

$$a) R = \sum_{i=1}^{N+M} \varepsilon_i q^i e_{ii} \otimes e_{ii} + \sum_{i \neq j=1}^{N+M} (-1)^{\frac{(1-\varepsilon_i)(1-\varepsilon_j)}{4}} e_{ij} \otimes e_{ji} + \lambda \sum_{1 \leq i < j \leq N+M} e_{ii} \otimes e_{jj} \quad (7b)$$

является Геккевской R -матрицей. $\boxed{\varepsilon_i = \begin{cases} +1, & i=1 \dots N \\ -1, & i=N+1 \dots N+M \end{cases}}$
 Эти R -матрицы связаны с квантовыми супергруппами
 $GL_q(N, M)$ (Кулиш Р.П., Скликин Е.К. 1980)

Rem: В отличие от представления Вираси (16)
 в R -матричном представлении (7) не все
 параметры ε_{ij} можно устраниć как дробочисленные
 обраzования (6).

Rem: При дискретизации $\dim V = N$
 базовое R -матричное представление
 начинает с некоторого n имеет
 нетривиальное ядро,
 т. е. не является торсом: $n! > N^{2n}$ при $n \rightarrow \infty$.

Коэффициенты R-матрицы.

Представим R-матрицу $R \in \text{Aut}(V \otimes V)$ картинкой

$$R : \begin{array}{c} j_1 & j_2 \\ \swarrow & \searrow \\ i_1 & i_2 \end{array} = R_{i_1 i_2}^{j_1 j_2}. \quad (8a)$$

Здесь $i_1 i_2 / j_1 j_2$ — мульти-индекс столбца/строки R-матрицы; i_1, j_1 — матричные индексы первого пространства V_1 , $i_2 j_2$ — второй пространства V_2 ($V^{\otimes 2} = V_1 \otimes V_2$)

R^{-1} естественно записывать так:

$$R^{-1} : \begin{array}{c} j_1 & j_2 \\ \swarrow & \searrow \\ i_1 & i_2 \end{array} = (R^{-1})_{i_1 i_2}^{j_1 j_2}. \quad (8b)$$

Тогда формула

$$R \cdot R^{-1} = \text{Id}_{V^{\otimes 2}} : \sum_{k_1 k_2=1}^N R_{k_1 k_2}^{j_1 j_2} (R^{-1})_{i_1 i_2}^{k_1 k_2} = \delta_{i_1}^{j_1} \delta_{i_2}^{j_2}$$

представлена так:

$$\begin{array}{c} j_1 & j_2 \\ \swarrow & \searrow \\ i_1 & i_2 \end{array} = \begin{array}{c} j_1 & j_2 \\ | & | \\ i_1 & i_2 \end{array}$$

что соответствует 2-му гипотезе Рейнгольда

при изотомических преобразованиях узлов/ зацеплений. 12

Третьему движению Рейнштейнера соответствует уравнение Фага-Бахтера (3):

$$\begin{array}{c} R_1 \\ R_2 \\ R_3 \end{array} \begin{array}{c} \diagup \\ \diagdown \end{array} = \begin{array}{c} R_2 \\ R_1 \\ R_3 \end{array}$$

Для того, чтобы обеспечить применение R-матриц в теории инвариантов узлов/зацеплений, надо еще найти аналог 1-го движения Рейнштейнера в виде формулы для R-матрицы. С этой целью мы рассмотрим обращение R-матрицы не в вертикальном, а в горизонтальном направлении, то есть не по паре индексов $(j_1 j_2)$, а по паре $(i_2 i_3)$.

Def: Назовём R-матрицу R_{12} косо-обратимой если существует матрица Ψ_{12}^R , такая что

$$\boxed{\text{Tr}_{(2)} R_{12} \Psi_{23}^R = \text{Tr}_{(2)} \Psi_{12}^R R_{23} = P_{13}} \quad (9)$$

Здесь символ $\text{Tr}_{(2)}$ означает вычисление следа для матричных индексов пространства V_2 :

$$\text{Tr}_{(2)} R_{12} \Psi_{23}^R : \sum_{i_2, j_2=1}^N R_{i_1 i_2}^{j_1 j_2} \Psi_{j_2 i_3}^{i_2 i_3} = \underbrace{\delta_{i_1}^{j_3} \delta_{i_3}^{j_1}}_{\gamma} = P_{13}$$

P_{13} -матрица оператора перестановки

(13)

Ψ_{12}^R называется косо-однородной матрицей для матрицы R .

Задексируем еще обозначения

$$C_2^R := \text{Tr}_{(1)} \Psi_{12}^R, \quad D_1^R := \text{Tr}_{(2)} \Psi_{12}^R \quad (10)$$

или в индексах:

$$(C_i^R)_{i_2}^{j_2} = \sum_{i_1} (\Psi_{12}^R)_{i_1 i_2}^{j_1 j_2}, \quad (D_i^R)_{i_1}^{j_1} = \sum_{i_2} (\Psi_{12}^R)_{i_1 i_2}^{j_1 j_2}$$

Ключевое свойство матриц $C^R, D^R \in \text{Aut}(V)$:

$$\boxed{\text{Tr}_{(1)} C_1^R R_{12} = I_2, \quad \text{Tr}_{(2)} D_2^R R_{12} = I_1} \quad (11)$$

Здесь $I_{2/1}$ — единичный оператор в пространстве $V_{2/1}$.

В картинках (11) изображено так:

$$\boxed{C^R \circ R = I = R \circ D^R} \quad (11a)$$

Что похоже на 1-е правило Рейнгольдера.

Доказательство (11): Возьмем $\text{Tr}_{(1)}$ от правого соединения в (5):

$$\text{Tr}_{(1)} (\text{Tr}_{(2)} \Psi_{12}^R R_{123}) = \text{Tr}_{(2)} C_2^R R_{123}$$

С другой стороны:

$$\boxed{\text{Tr}_{(1)} P_{13} = I_3}$$

→ (11)



Рем: (11а) — это еще не винче 1-е свойство —
но Рейнгольдстера, поскольку, вообще говоря

$$C^R \begin{pmatrix} 1 \\ R^{-1} \end{pmatrix} \neq \begin{pmatrix} 1 \\ R^{-1} \end{pmatrix} \neq D^R \begin{pmatrix} 1 \\ R^{-1} \end{pmatrix}$$

С этим еще предстоит разобраться.

Упражнение 6. Докажите, что если R — косообра-
тимая матрица, то свойства (11) однозначно опре-
деляют матрицы C^R и D^R .

Следующее утверждение даёт связь между C^R и R^{-1} :

Утверждение 1 Если R — косо-обратимая R -мат-
рица, то выполнены соотношения:

$$\boxed{\begin{aligned} C_1^R \Psi_{12}^R &= R_{21}^{-1} C_2^R, & \Psi_{12}^R C_1^R &= C_2^R R_{21}^{-1}, \\ D_2^R \Psi_{12}^R &= R_{21}^{-1} D_1^R, & \Psi_{12}^R D_2^R &= D_1^R R_{21}^{-1} \end{aligned}} \quad (12)$$

Доказательство: Используем соотношение Шеффер-Бакс-
тера в виде

$$\boxed{R_{12}^\varepsilon R_{23} R_{12}^{-\varepsilon} = R_{23}^{-\varepsilon} R_{12}^\varepsilon R_{23}^\varepsilon, \quad \varepsilon = \pm 1}$$

Докажем слева на $\Psi_{01}^R \Psi_{34}^R$ и бору-
мии $\text{Tr}_{(1,3)}$:

(15)

$$\text{Tr}_{(1)} \Psi_{01}^R R_{12}^E (\text{Tr}_{(3)} \Psi_{34}^R R_{23}) R_{12}^{-E} = \text{Tr}_{(3)} \Psi_{34}^R R_{23}^{-E} (\text{Tr}_{(1)} \Psi_{01}^R R_{12}) R_{23}^E$$

↔

$$\text{Tr}_{(1)} \Psi_{01}^R R_{12}^E P_{24} R_{12}^{-E} = \text{Tr}_{(3)} R_{23}^{-E} P_{02} R_{23}^E \Psi_{34}^R$$

переставили Ψ_{34}^R но изменил
ногу знаком $\text{Tr}_{(3)}$

Возникли от ненулевых

группах следов $\text{Tr}_{(0)}$ или $\text{Tr}_{(4)}$:

$$\left. \begin{array}{l} \text{Tr}_{(0)} : \quad \boxed{\text{Tr}_{(1)} C_1^R R_{12}^E P_{24} R_{12}^{-E} = C_4^R I_2} \\ \text{Tr}_{(4)} : \quad \boxed{\text{Tr}_{(3)} R_{23}^{-E} P_{02} R_{23}^E D_3^R = D_0^R I_2} \end{array} \right\} (*)$$

При вычислении можно воспользоваться группу-
ю для следов от оператора перестановки

$$\boxed{\text{Tr}_{(1)} P_{12} = I_2 = \text{Tr}_{(3)} P_{23}},$$

и узкое определение $C^R u D^R$.

Дополним первое из соотношений (*) к P_{24} справа
и учитывая свойство оператора перестановки:

$$\boxed{M_1 P_{12} = P_{12} M_2, \quad M_2 P_{12} = P_{12} M_1},$$

где M — любой оператор $\in \text{End}(V)$.

Пример:

$$\boxed{\text{Tr}_{(1)} C_1^R R_{12}^E R_{14}^{-E} = C_4^R P_{24}} \quad (**)$$

В случае $\varepsilon = +1$ доказываем последнее равенство
на Ψ_{23}^R справа и вогнисим $\text{Tr}_{(2)}$:

$$\text{Tr}_{(1)} C_1^R \left(\text{Tr}_{(2)} R_{12} \Psi_{23}^R \right) R_{14}^{-1} = C_4^R \left(\text{Tr}_{(2)} \Psi_{43}^R P_{24} \right)$$

$$\text{Tr}_{(1)} C_1^R P_{13} R_{14}^{-1} = C_4^R \Psi_{43}^R$$

В левой части переставляем R_{14}^{-1} под знаком $\text{Tr}_{(1)}$ по умножению
налево, а затем, переставляем $R_{14}^{-1} C_1^R$ направо через
 P_{13} . Получаем

$$\text{Tr}_{(1)} P_{13} R_{34}^{-1} C_3^R = C_4^R \Psi_{43}^R$$

$$\boxed{R_{34}^{-1} C_3^R = C_4^R \Psi_{43}^R}, \text{ - левое соотно-}$$

шение из первой строки б (12). Правое соотношение
из этой строки получается, если, будь $\varepsilon = -1$, доказать
(**) на Ψ_{43}^R и вогнисим $\text{Tr}_{(3)}$.

Соотношение из второй строки б (12) получается, если
аналогичным образом преобразовать второе соотноше-
ние б (*) □

Следствие 2: В условиях Утв. 1:

$$\boxed{C^R D^R = D^R C^R}$$

Док-во: Применим $\text{Tr}_{(2)}$ к
соотношению б (12). □

где мы берём

Следствие 3: В условиях Утв. 1:

$$\boxed{[R_{12}, C_1^R C_2^R] = [R_{12}, D_1^R D_2^R] = 0} \quad (13)$$

$$\text{Доказательство: } \underline{R_{12}^{-1} C_1^R C_2^R} = \underline{C_2^R \Psi_{21}^R C_2^R} = C_2^R C_1^R R_{12}^{-1} = \quad (17)$$

$= C_1^R C_2^R R_{12}^{-1}$. — мы использовали соотношение 1-й строки (12). Вторая строка (12) есть коммутативность R_{12}^{-1} , а следовательно и R_{12} , с $\underline{D_1^R D_2^R}$

Def: Косо-обратимая R -матрица R называется строго косо-обратимой, если хотя бы одна из матриц C^R, D^R обратима.
Корректность этого определения подтверждается

Утверждение 4: Следующие утверждения равносительны:
a) R — строго косо-обратимая R -матрица

b) $R \cup R^{-1}$ — косо-обратимая.

Если a) или b) выполнено, то $C^R \cup D^R$ однозначно определена, причем

$$\boxed{C^{R^{-1}} = (D^R)^{-1}, \quad (D^{R^{-1}}) = (C^R)^{-1}} \quad (14)$$

Доказательство: Докажем a) \Rightarrow b)

$$\text{Tr}_{(2)} R_{12} \Psi_{23}^R = P_{13}$$

Доказываем на D_3^R справа, применяем в левой части (12)

$$\text{Tr}_{(2)} \underbrace{R_{12} D_{23}^R R_{32}^{-1}}_{\text{цикл}} = D_1 P_{13}$$

(18)

Докончаем обе части на $(D_1^R)^{-1}$ — тут используем предположение строгой косо-обратимости R с обратимой D_1^R ; в левой части под знаком $\text{Tr}_{(2)}$ уроко-сумы по циклу $(D_1^R)^{-1} R_{12} D_2^R$:

$$\text{Tr}_{(2)} R_{32}^{-1} ((D_1^R)^{-1} R_{12} D_2^R) = P_{13}$$

Это соотношение свидетельствует о косо-обратимости R^{-1} и даёт формулу

$$\Psi_{12}^{R^{-1}} = (D_2^R)^{-1} R_{21} D_1^R$$

$$D_2^R \Psi_{12}^{R^{-1}} = R_{21} D_1^R$$

Применим $\text{Tr}_{(1)}$ получаем:

$$\boxed{D^R C^{R^{-1}} = \text{Id}_V}$$

Докажем 8) \Rightarrow а)

$$\text{Tr}_{(2)} \Psi_{12}^R R_{23}^R = P_{13}$$

Докончаем на C_1^R слева и применим (12)

$$\text{Tr}_{(2)} R_{21}^{-1} C_2^R R_{23} = P_{13} C_3^R$$

Докончаем на $\Psi_{10}^{R^{-1}}$ и воспользуемся $\text{Tr}_{(1)}$ — тут используем предположение косо-обратимости R^{-1} :

$$\text{Tr}_{(2)} P_{20} C_2^R R_{23} = \text{Tr}_{(1)} P_{13} \Psi_{30}^{R^{-1}} C_3^R$$

$\underbrace{\quad}_{\text{по циклу под знаком } \text{Tr}_{(2)}}$

$$C_0^R R_{03} = \Psi_{30}^{R^{-1}} C_3^R$$

(19)

Применение $\text{Tr}_{(0)}$:

$$\boxed{\text{Id}_V = D^R C^R},$$

откуда, в частности, следует строгая косо-обратимость R .

Мы кратко проверим доказательства $a) \Rightarrow \delta)$
 и $\delta) \Rightarrow a)$. Так, чтобы получить обе формулы (14)
 Отсюда следует, что: обратимость $D^R \Leftrightarrow$ обратимость C^R .
 Рассуждение $a) \Rightarrow \delta)$ можно проверить и в предполо-
 жении обратимости C^R (используйте) \blacksquare

Утверждение 5: Пусть $M \in \text{Mat}_N(U)$, где

U — произвольное линейное пространство, то есть,
 U — произвольное линейное пространство, то есть,

M — матрица размера $N \times N$, где компоненты $\in U$.

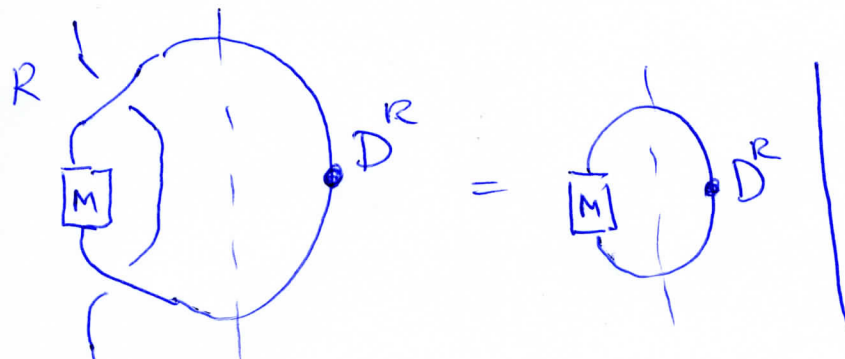
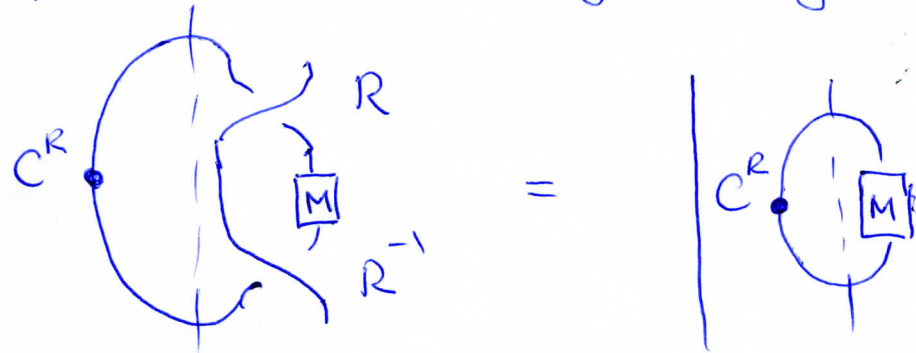
M — матрица размера $N \times N$, где компоненты $\in U$.
 Пусть R — косо-обратимая R -матрица. Тогда

$$\boxed{\begin{aligned} \text{Tr}_{(1)} C_1^R R_{12}^E M_2 R_{12}^{-E} &= I_2 \text{ Tr}(C^R M) \\ \text{Tr}_{(2)} D_2^R R_{12}^E M_1 R_{12}^{-E} &= I_1 \text{ Tr}(D^R M) \end{aligned}} \quad (15)$$

Доказательство: Будем использовать формулы (*)
 со спр. 15:

Умножение 1-й и 2-й формулы на M_4/M_0 и
 вычисление $\text{Tr}_{(4)}/\text{Tr}_{(0)}$ даёт соотношение (15) \blacksquare

Соотношения (15) имеют геометрическую интерпретацию, аналогичную 2-му движению Ридемейнера: 20



Эти соотношения нам пригодятся в дальнейшем при изучении структур квантовых матричных алгебр.

Утверждение 6. Пусть R — строка косо-обратимой некоммутативной R -матрица. Тогда:

$$\boxed{\begin{aligned} D^R &= (1 - \lambda \text{Tr} D^R) D^{R^{-1}} \\ C^R &= (1 - \lambda \text{Tr} C^R) C^{R^{-1}} \end{aligned}} \quad (16)$$

$$\boxed{\text{Tr} D^R = \text{Tr} C^R} \quad (17)$$

Доказательство: Для проверки (16) надо вычислить $\text{Tr}_{(1)} C^R$ или $\text{Tr}_{(2)} D^R$ от соотношения $R_{12}^{-1} = R_{12} - \lambda I_{12}$.

Соотношение (17) следует из (16) и (14)



Рем: При калибровочных преобразованиях R-матрица (21)

$$R_{12} \mapsto (X_1 X_2) R_{12} (X_1 X_2)^{-1} \quad C^R \text{ и } D^R \text{ берутся сейч}$$

$$C^R \mapsto X C^R X^{-1}, \quad D^R \mapsto X D^R X^{-1}, \quad X \in \text{Aut}(V)$$

ночному C^R и D^R могут рассматриваться как операторы
 $C^R, D^R \in \text{Aut}(V)$

Пример: Для Пингенгау-Джимбовской R-матрицы (7)

воспользуемся

$$\Psi^R = q^{-1} \sum_{i=1}^N e_{ii} \otimes e_{ii} + \sum_{i \neq j} \frac{1}{x_{ij}} e_{ij} \otimes e_{ji} - \sum_{i < j} \frac{q^{-1/q}}{q^{2(j-i)}} e_{ii} \otimes e_{jj}$$

$$C^R = \sum_i \frac{1}{q^{2i-1}} e_{ii} = \text{diag}\{q^{-1}, q^{-3}, \dots, q^{-2N+1}\}$$

$$D^R = \sum_i \frac{1}{q^{2N-2i+1}} e_{ii} = \text{diag}\{q^{-2N+1}, \dots, q^{-3}, q^{-1}\}$$

$$\text{Tr } C^R = \text{Tr } D^R = \frac{[N]_q}{q^N},$$

$$D^R = q^{2N} D^R, \quad C^{R^{-1}} = q^{2N} C^R$$

(18)

Упражнение 7*. Вычислите Ψ^R, D^R, C^R и R -

матрицы Кумма-Склипенса из упражнения 5*, ср 10

R-матрицы и инварианты

узлов/зашellений

В этом разделе мы кратко опишем конструкцию инвариантов узлов/зашellений, использующую R-матричное представление групп кос. Для этого нам потребуются результаты о связях узлов/зашellений и кос.

Уzel — класс негорючих замкнутых кривых без самопересечений в \mathbb{R}^3 . Зашellение — класс негорючих нескольких замкнутых кривых в \mathbb{R}^3 без само- и взаимных пересечений.

Уzel/зашellение однозначно определяется регулярной проекцией одной из представляющих его (каборов) кривых в \mathbb{R}^2 . Регулярными являются проекции, когда в одной точке кривой налагаются проекции, когда в одной точке кривой налагаются проекции не более двух точек кривой как наложены на две пересекающиеся исходной кривой, причем две двух пересекающиеся исходной кривой, причем две кривые отрезков кривой указывается кто над в проекции (относительно плоскости проекции).

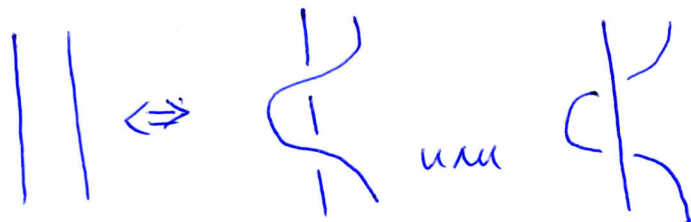
Регулярные проекции, отвечающие одному уzel/зашellению, связанны между собой (конечно!) последовательностью движущихся Ребенбергера (1920г.)

Напомним эти движения:

I тип:



II тип:

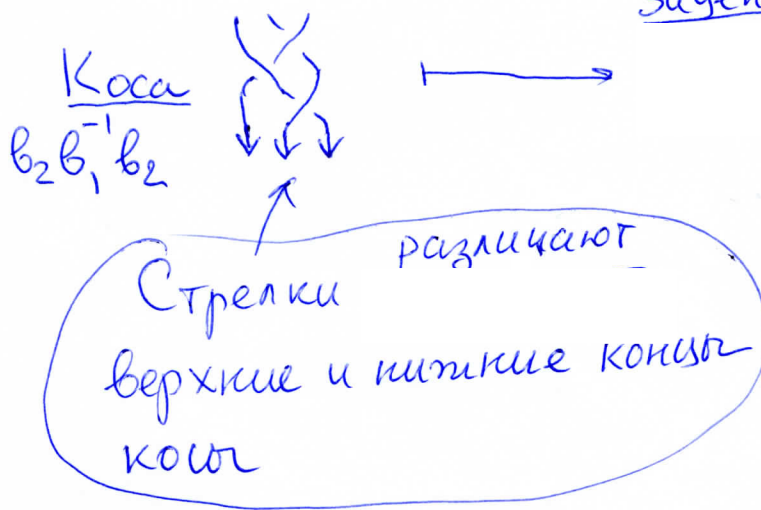


III тип:

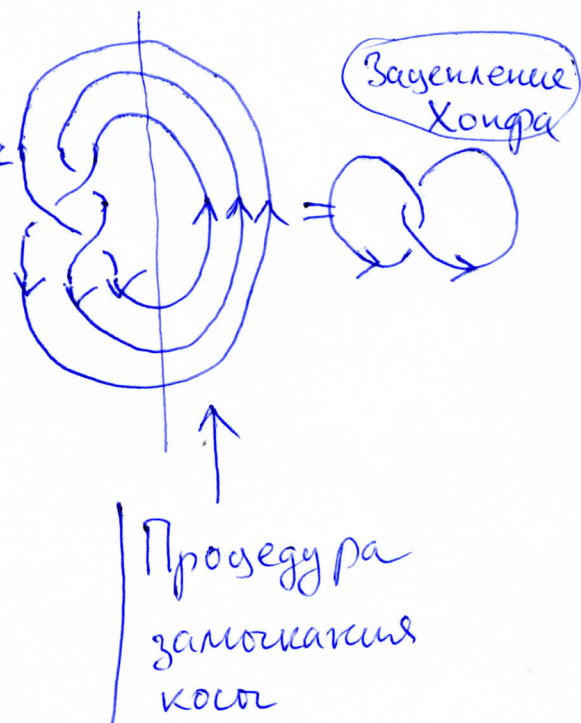


На каждом узле/зажемлении можно ввести ориентацию, указав направление движения вдоль его таких, указав направление движение вдоль его замкнутых кривых. Очевидно, что всякой косе можно сопоставить ориентированский узел/связку:

Пример:



Зажемление

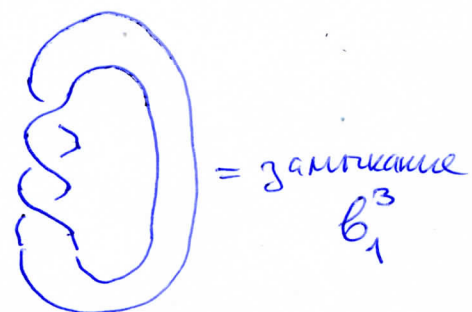
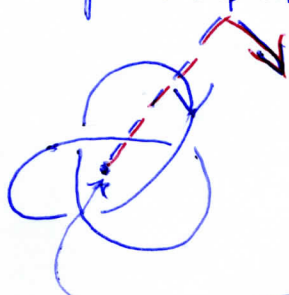


Теорема (Александер, 1928) Всекой ориентированной связке/узлу можно сопоставить замкнутые некоторой косы (в общем говоря, не единственных образов).

Мы не будем детально расписывать доказательство.

Приведем простейший пример сопоставления

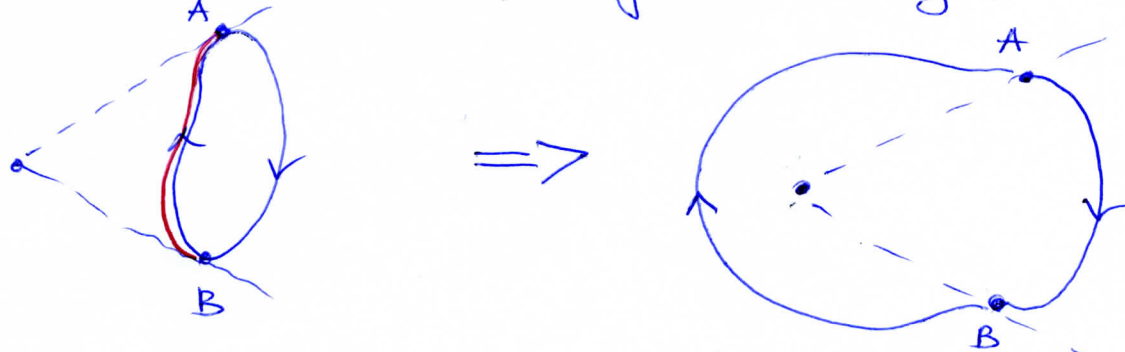
Трилистик:



Отмечаем точку внутри, выделяем из неё луч и начиная его вращать, скажем, по часовой стрелке.

Нам известно, что все линии узла, пересекающие этот луч, ориентированы однозаково — по часовой стрелке. Поэтому этот круговой луч и отмечаем, через какие перекрестья линий он проходит: всегда он пересекает 2-ные линии, при вращении луча они перекрещиваются 3 раза, при вращении луча один раз дальше от начала луча линии пересекают дальний от начала луча линии. Согласно теореме, трилистик проходит над близкими. Соответственно, сопоставленный замкнутый сопоставляемый коса $b_1^3 \in B_2$.

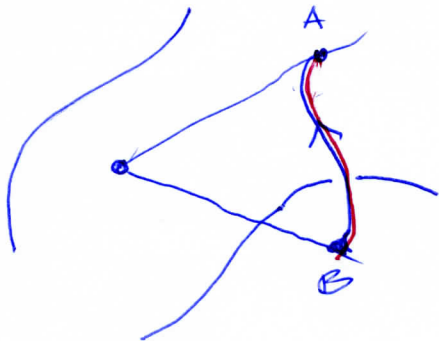
Простейший вариант, когда не пойдет:



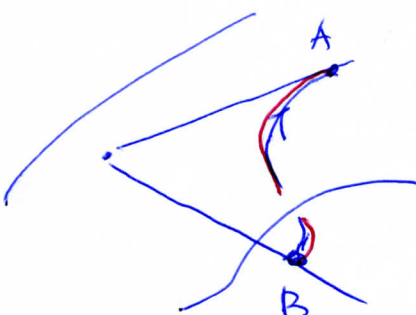
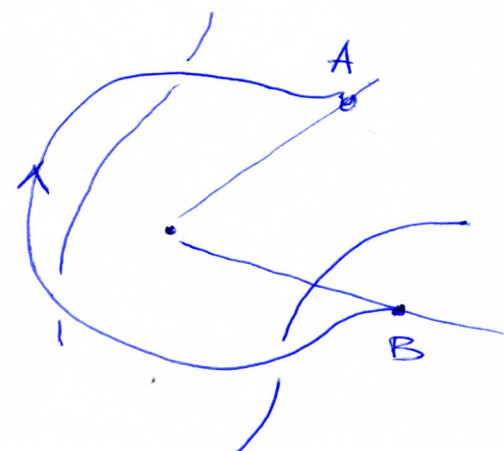
На рисунке сверху "илюдо" виден узел браidedного узла. В результате 1) число линий, которое его пересекают непрерывно: Очи! 2) линии пересекают узел в разных направлениях. Все это делает процедуру перекидывания илюдого (т.е. неправильного направления — красного) отрезка узла через узел браidedного — см. рис. справа.

В общем случае, при перекидывании неправильно ориентированного участка узла/зашивки надо учесть положение перекидываемого участка по отношению к остальным, пересекающимся с ним на проекции участкам узла/зашивки.

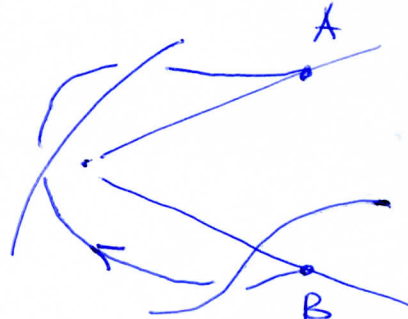
Правила перекидывания:



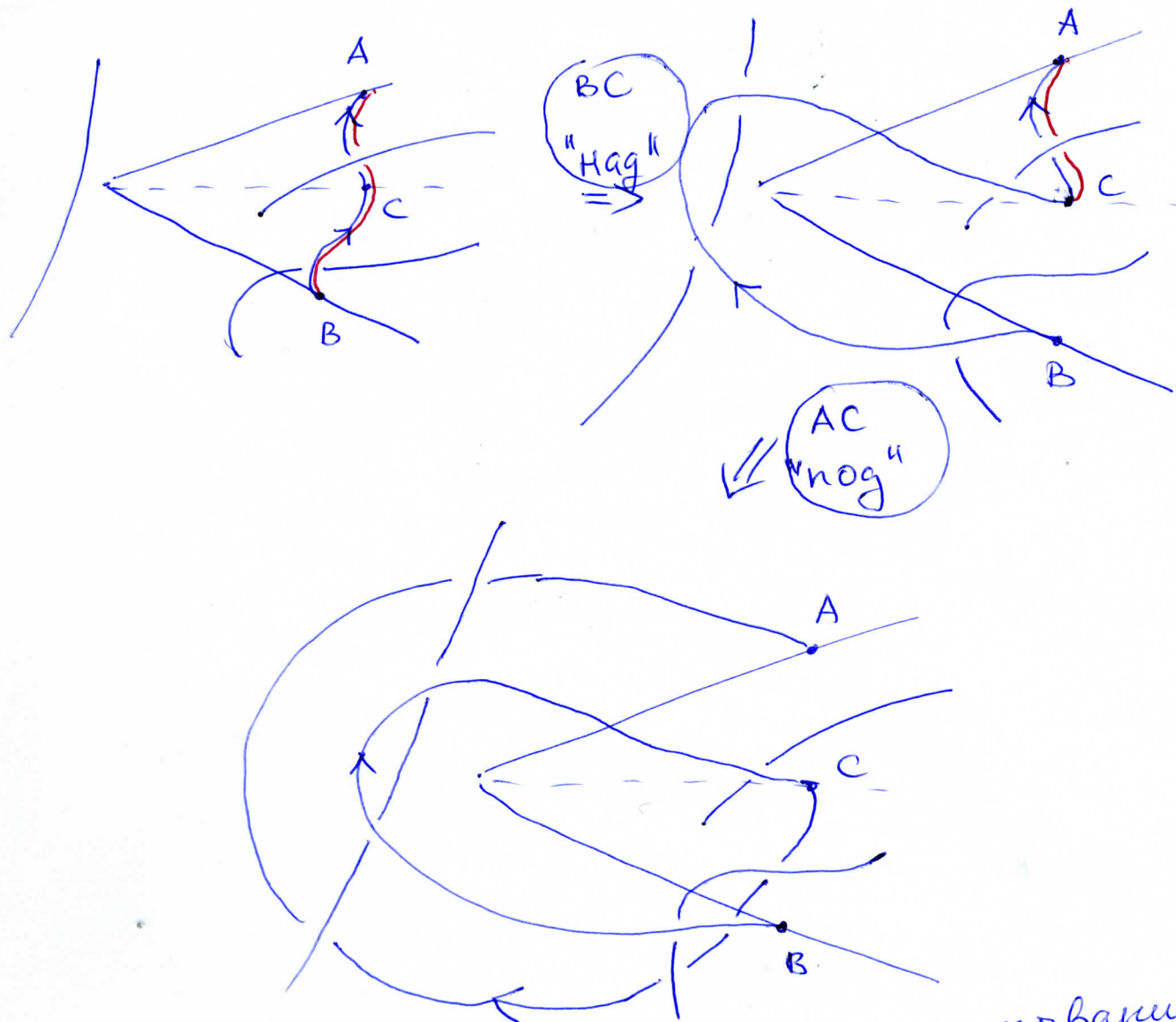
перекидываем
=>
на всем



перекидываем
=>
ни всем



В более сложных случаях неправильно ориентированный участок необходимо разделять на куски:



Таким образом за конечное число пересечений удаётся исправить все неправильно ориентированные куски узла/зашелки.

Представляемый метод — подобие предложенного Александром способа восстановления замкнутого кольца по ориентированному узлу/зашелке. Он казался, но не поддается хорошей алгоритмизации.

Хороший алгоритм восстановления замкнутой кольца по узлу/зашелке был предложен Вогелем (Vogel, 1990)

Описание этого алгоритма можно найти в книге "Теория узлов", Мануров В. О. - Москва-Нижний Новгород: Институт компьютерных исследований, 2005, глава 9, § 9.2.
или в книге "Группы кос", К. Кассель, В. Г. Тураев, МИЭММО, 2014, глава 2 § 2.4

Составление ориентированному узлу/зацеплению замкнутой кости неоднозначно. Семейство замкнутых кос, соответствующих одному узлу/зацеплению описывается теоремой А.А. Маркова. Эта теорема, сформулированная в 1936 г., получила детальное доказательство лишь в 1974 г. (J. Birman)

Теорема (Марков) Две кости, замкните ко-
торых даёт один и тот же ориентированной узел/за-
цепление, связаны кокечной последовательностью
преобразований 2-х видов (марковских преобразова-
ний)

a) сопряжение в B_n : $\forall x \in B_n$

$$x \mapsto \alpha x \alpha^{-1} \quad \forall \alpha \in B_n$$

б) связь кос из B_n и B_{n+1}

$$\forall x \in B_n : x \leftrightarrow x b_n^\varepsilon \in B_{n+1}, \quad \varepsilon = \pm 1$$

Это преобразование можно производить в обе стороны.

Эту теорему можно приводить без доказательства (см.

Теперь опишем процедуру построения инвариантов узлов/зацеплений по R-матричному представлению групп кос, предложенную В. Тураевым (1988).

Пусть R — строго косо-обратимая R-матрица геккебского типа. Всейкой косе сопоставим её R-матричное представление:

$$\begin{aligned} \begin{array}{c} \curvearrowleft \\ i \\ \curvearrowright \\ i+1 \end{array} &= b_i \xrightarrow{\rho_R} \alpha R_i \in \text{Aut}(V^{\otimes n}) \\ \begin{array}{c} \curvearrowleft \\ i \\ \curvearrowright \\ i+1 \end{array} &= b_i^{-1} \xrightarrow{\rho_R} \frac{1}{\alpha} R_i^{-1} \end{aligned} \quad (19)$$

Параметр $\alpha \in \mathbb{C}^\times$ — масштабный параметр — это зафиксированный ножходящий образец в дальнейшем.

Замкните косу $X \in B_n$ и сопоставьте
внимание следующему слева б её R-матричном
представлению (19):

$$\begin{array}{ccc} \text{Diagram of } X & \xrightarrow{\frac{1}{\alpha^n} \text{Tr}_{(1,2,\dots,n)}} & D_1^R D_2^R \dots D_n^R \rho_R(X) \end{array} \quad (20)$$

Построение по резонту (20) дружеское узле
и неварийант движущий Рейнхольдера II и III типов
(в косе X) — просто потому, что мог использовать
при ее построении представление группок кос. Если
мы хотим, чтобы эта дружеская была и неварийантой
узла/закручивания, отвечающего замыканию кости X,
надо обеспечить инвариантность этой дружески при
марковских преобразованиях.

Инвариантность относительно преобразований сопре-
менения гарантируется чистически свойством следа,
а также свойством коммутативности;

$$[D_1^R, D_2^R \dots D_n^R, g_R(Y)] = 0 \quad \forall Y \in B_n,$$

следующим из (13). (стр 16)

Инвариантность при преобразованиях Маркова
будет $x \leftrightarrow xb_n$, $x \in B_n$, следует из (11):

$$\left(\frac{1}{\alpha} \text{Tr}_{(2)} D_2^R \right) p_R(b_1) = \cancel{\frac{1}{\alpha} \text{Tr}_{(2)} D_2^R} \cdot \cancel{\alpha R_{12}} = I_1,$$

или в картинках:

$$\cancel{\alpha R_{12}} \circ \bullet \frac{1}{\alpha} D^R = |$$

Инвариантность при преобразованиях Маркова
будет $x \leftrightarrow xb_n^{-1}$, $x \in B_n$, обеспечивается
выбором α :

(30)

$$\left(\frac{1}{\alpha} \text{Tr}_{(2)} D_2^R \right) g_R(b_1^{-1}) = \frac{1}{\alpha} \text{Tr}_{(2)} D_2^R \frac{1}{\alpha} R_{12}^{-1} =$$

$$= \frac{1}{\alpha^2} \text{Tr}_{(2)} \underbrace{\left(1 - \lambda \text{Tr} D^R \right) D_2^R}_{D_2^R \text{ (cm. (16))}} R_{12}^{-1} = \frac{1 - \lambda \text{Tr} D^R}{\alpha^2} I_1$$

требуется:

$$\boxed{\alpha = (1 - \lambda \text{Tr} D)^{\frac{1}{2}}} \quad (21)$$

С таким выражением α формулы (19), (20) поставляют наше инвариантное узлов/зацеплений.

В случае, когда R — Дриквелль-Дмитровский R -матрица (7), можно возвращаться к формуле (18)

Обозначим:

$$L_+ = \text{Diagram with a crossing and a shaded loop}, \quad L_- = \text{Diagram with a crossing and two shaded regions}, \quad L_0 = \text{Diagram with a crossing and two shaded regions}$$

три узла/зацепления, отличающиеся друг от друга лишь расположением двух кусков нитей в окнах, обозначенных на рисунках месте.

Для узла L обозначим $f(L)$ — инвариант, зависящий по результату (19)–(21).

Утверждение 6. Инвариант $f(L)$ однозначно характеризуется скейн-соотношением (skein relation)

$$\boxed{\frac{1}{\alpha} f(L_+) - \alpha f(L_-) = \lambda f(L_0)} \quad (22)$$

и значением на тривиальном узле O :

$$\boxed{f(O) = \frac{1}{\alpha} \text{Tr} D^R = \frac{1-\alpha^2}{\lambda \alpha}} \quad (23)$$

Доказательство:

Во-первых, заметим, что соотношение (22) для икварианта f является следствием условия Гекке на R -матрицу: $R_{12} - R_{12}^{-1} = \lambda I_{12}$.

Значение $f(O)$ (23) получается путем вычислением.

Поскольку теперь однозначность задания $f(L)$ с наложенным соотношением (22), (23). Соотношение (22) позволяет распределять любой узел/зашеллаж, то есть свести его к линейной комбинации тривиальных зашеллажей: $f(O^k)$. Для вычисления последних используем скрытое соотношение для узлов

$$L_+ = \boxed{\mathbb{X} \setminus O}, \quad L_- = \boxed{\mathbb{X} \setminus O}, \quad L_0 = \boxed{\mathbb{X} \setminus O}$$

$$L_+ = L_- = \boxed{\mathbb{X} \setminus D}$$

Имеем: $\boxed{(\frac{1}{\alpha} - \alpha) f(\boxed{\mathbb{X} \setminus D}) = \lambda \tilde{f}(\boxed{\mathbb{X} \setminus D})}$

В частности $f(O^{k+1}) = \frac{\frac{1}{\alpha} - \alpha}{\lambda} f(O^k)$,

и с учётом (23) вычислим

$$\boxed{f(O^k) = \left(\frac{1-\alpha^2}{\lambda \alpha} \right)^k} \quad (24)$$



Rem: Инвариант $f(L)$ (22)–(23) (или (19)–(21)) (32) можно считать зависящим от двух неизвестных параметров α и q ($\lambda = q - \frac{1}{q}$). Это, стоящую до корректировки, инвариант FYHLMO (Freyd, Yetter, Hoste, Licorish, Millett, Ocneanu, 1985). Как следует из наших построений, — это наиболее общий вид инвариантов узлов/зашиваний, которое можно построить с помощью геккевских R -матриц.

Однонадиагональный частный случай: $\lambda = q - q^{-1}$, $\alpha = q^{-2}$ (стоящую до замены параметра и корректировки) является инвариантом Донка (Jones, 1985). Он строится по Принглеб-Джонсовой R -матрице

(7) в простейшем случае $\dim V = N = 2$.
 Предельный переход $\alpha \rightarrow 1$ с корректировкой $f(O) = 1$ даёт инвариант Александера-Конвея (Alexander 1923, Conway 1969). Для него $f(O^k) = 0$ при $k > 1$.

Примеры

1) Трилистник:

$$\begin{aligned}
 f(\text{Трил.}) &= \frac{1}{\alpha^2} \text{Tr}_{(1,2)} D_1^R D_2^R (\alpha R_{12})^3 = (\text{установленное условие}) \\
 &= \alpha \text{Tr}_{(1,2)} D_1^R D_2^R (R_{12} + \lambda R_{12}^2) = \\
 &= \alpha \text{Tr}_{(1,2)} D_1^R D_2^R ((1+\lambda^2) R_{12} + \lambda I_{12}) = \\
 &= \alpha \text{Tr} D^R \cdot \{(1+\lambda^2) + \lambda \text{Tr} D^R\} = \left(\begin{array}{l} \text{установленное условие} \\ \text{для } R\text{-матрицы} \\ \text{Принглеба-Джонса} \end{array} \right) \\
 &= q^{-2N} [N]_q (1 + \lambda^2 + \lambda q^{-N} [N]_q) =
 \end{aligned}$$

$$f(\text{Трил.}) = q^{-2N}[N]_q(q^2 + q^{-2} - q^{-2N}) \quad || \quad (33)$$

Упражнение 8. Вычислите инвариант f (или R-матрицу Дрингельса-Дмитра) для зеркального отражения триистрика. Убедитесь, что триистрик и его зеркальное отражение — разные узлы.

Упражнение 9 Постройте более простое, чем приведенное на стр 23 замыкание косы, отвечающее зацеплению Хонда  . Вычислите для него инвариант $f(L)$.

Упражнение 10 Для узла "Восьмерка" постройте отвечающее ему замыкание косы (простейшее из них находится в B_3). Вычислите инвариант $f(L)$.

Упражнение 11* Для зацеплений, постройте замыкание косы (простейшее — в B_4). Для этого стоит использовать алгоритм Бонелля. Вычислите инвариант $f(L)$.

